

$p - ^3\text{He}$ 弹性散射动量空间 库仑作用的处理*

杨景奎 徐茵富 宋桂莲

(哈尔滨师范大学物理系 哈尔滨 150080)

1995-03-31 收稿

摘 要

将 R. Crespo 和 J. A. Tostevin 提出的方法, 推广应用于自旋 $\frac{1}{2} \times \frac{1}{2}$ 的散射, 研究了 $p - ^3\text{He}$ 弹性散射动量空间库仑作用的处理. 计算了 200—500 MeV 的微分散射截面和自旋观测量, 并将其结果与 V-P 方法所得结果及实验结果进行了比较, 显示出这种方法与 V-P 方法相比可应用的角动量和动量转移的范围更宽些.

关键词 弹性散射, 动量空间, 库仑作用.

1 引 言

为了在动量空间精确计算中能区域质子与原子核的弹性散射, 长程的库仑作用应当被加到短程的核相互作用中. 但是由于库仑作用在动量空间的表示有 $1/q^2$ 的奇点, 库仑波函数的付氏变换在函数意义上并不存在, 使得动量空间库仑作用的处理遇到了极大的困难. 已经有许多人提出了各种不同的处理动量空间库仑作用的方法^[1-4], 这些方法都各自有其局限性, 究竟哪一种方法针对某一具体问题有最佳的应用效果, 仍然是一个需要认真研究的问题. 例如 C.M. Vincent 和 S.C. Phatak 曾提出一种精确处理动量空间库仑作用的方法^[5], 我们称它为 V-P 方法, 经过使用研究, 许多作者都提出应用这种方法于中能质子-核弹性散射时遇到了困难^[3,6,7]. 在参考文献[8]中已经以 $p - ^3\text{He}$ 弹性散射为例研究了 V-P 方法的适用范围, 其结果表明在动量转移 $q < 3.5 \text{fm}^{-1}$, $R_{\text{cut}} = 7 \text{fm}$, 分波数 $L = 24$ 时 V-P 方法是有效的, 超出了这个范围其结果极不可靠. 这一结论与其它作者基本一致. 这主要是因为 V-P 方法中带有有一个截断的直边缘半径 R_{cut} 的库仑势的付氏变换, 而实际问题所遇到的势不是方位阱型, 总要有个尾巴, 因而最佳 R_{cut} 的选择比较困难, 所要求的分波分解 $V_C^{LL}(k', k)$ 实际上总会包括一些不真实的成分; 又由于 R_{cut} 内外的库仑势是以不同的方法进行数值处理的, 因而对高角动量态和大动量转移所

* 黑龙江省自然科学基金资助.

计算的结果很难避免由于截断的直边缘衍射所引起的振荡.

最近 R. Crespo 和 J. A. Tostevin 在 [9] 方法的基础上又提出了一种新的处理方法^[9], 并将他们的方法应用于自旋 $\frac{1}{2}$ 的散射: $p-^{40}\text{Ca}$ 弹性散射, 在高分波和大动量转移区域得到了较 V-P 方法更好的结果. 本文的目的是将 [9] 方法进一步推广应用于自旋 $\frac{1}{2} \times \frac{1}{2}$ 的散射, 以检验该方法的可靠性和有效程度. 为此我们以 $p-^3\text{He}$ 弹性散射为例应用 R-J 方法作了理论计算.

2 理论与公式

对于自旋为 $\frac{1}{2}$ 的带电粒子与自旋为零的靶核的散射, 其散射振幅可表为标准形式:

$$f(\theta) = A(\theta) + i\bar{\sigma} \cdot \hat{n} C(\theta), \quad (1)$$

$$\text{式中 } A(\theta) = f_C^{\text{pt}}(\theta) + \frac{1}{k} \sum_{L=0}^{\infty} \exp(2i\sigma_L) [(L+1)T_{L+}(N) + LT_{L-}(N)] P_L(\cos\theta), \quad (2)$$

$$C(\theta) = \frac{1}{k} \sum_{L=1}^{\infty} \exp(2i\sigma_L) [T_{L+}(N) - T_{L-}(N)] P_L'(\cos\theta), \quad (3)$$

其中 $f_C^{\text{pt}}(\theta)$ 是点电荷库仑势所产生的库仑散射振幅, σ_L 是相应的库仑相移. $T_{L\pm}(N)$ 是库仑修正的核分波转换振幅, L_{\pm} 说明轨道和总角动量 $J = L \pm \frac{1}{2}$,

$$T_{L\pm}(N) = \frac{\{\exp[2i\delta_{L\pm}(N)] - 1\}}{2i}, \quad (4)$$

式中 $\delta_{L\pm}(N)$ 是库仑修正的核相移, 在精确计算中 $\delta_{L\pm}(N)$, $T_{L\pm}(N)$ 应当用完整的核势加库仑势求解. 即

$$\delta_{L\pm}(N) = \delta_{L\pm}(V_N + V_C), \quad (5)$$

$$T_{L\pm}(N) = T_{L\pm}(V_N + V_C). \quad (6)$$

动量空间的弹性散射应用 V-P 方法时, 总的相互作用势为:

$$V = \begin{cases} V_N + V_C, & r < R_{\text{cut}}, \\ V_C \sim \frac{Ze^2}{r}, & r > R_{\text{cut}}, \end{cases} \quad (7)$$

$r < R_{\text{cut}}$ 处的动量空间库仑势为:

$$V_C = V_{C; R_{\text{cut}}}(q) = \frac{Ze^2}{2\pi^2 q^2} [\rho(q) - \cos(qR_{\text{cut}})]. \quad (8)$$

用 $V_N + V_{C; R_{\text{cut}}}$ 在 $r < R_{\text{cut}}$ 处解运动方程求得波函数 ψ_{s_l} 和相移 δ_{s_l} , 在 $r = R_{\text{cut}}$ 处, 使 ψ_{s_l} 与

R_{cut} 外部的库仑波函数相匹配, 从而得到库仑修正的核相移 $\delta_{L\pm}$. 所以 V-P 方法中实际上是:

$$\delta_{L\pm}(N) = \delta_{L\pm}(V_N + V_{C; R_{\text{cut}}}), \quad (9)$$

$$T_{L\pm}(N) = T_{L\pm}(V_N + V_{C; R_{\text{cut}}}). \quad (10)$$

由于所使用的势带有一个截断的直边缘半径 R_{cut} , 使所计算的 $T_{L\pm}(V_N + V_{C; R_{\text{cut}}})$ 与精确的 $T_{L\pm}(V_N + V_C)$ 相比在高分波和大动量转移区域, 太快地降落至零, 造成这些区域的计算结果不真实可靠. 为了克服这个缺点, R. Crespo 和 J. A. Tostevin 在 V-P 方法的基础上进行了修正. 修正后的分波转换振幅为:

$$T_{L\pm}(N) = \frac{\{\exp[2i\bar{\delta}_{L\pm}(N)] - 1\}}{2i}, \quad (11)$$

式中
$$\bar{\delta}_{L\pm}(N) = \delta_{L\pm}(V_N + V_{C; R_{\text{cut}}}) - \delta_{L\pm}(V_{C; R_{\text{cut}}}^{\text{pt}}), \quad (12)$$

其中 $\delta_{L\pm}(V_N + V_{C; R_{\text{cut}}})$ 是 V-P 方法中的库仑修正的核相移, 而 $\delta_{L\pm}(V_{C; R_{\text{cut}}}^{\text{pt}})$ 是截断的点库仑势 $V_{C; R_{\text{cut}}}^{\text{pt}}$ 的相移. 并且:

$$V_{G; R_{\text{cut}}}^{\text{pt}}(q) = \frac{Ze^2}{2\pi^2 q^2} [1 - \cos(qR_{\text{cut}})], \quad (13)$$

所计算的分波转换振幅为:

$$T_{L\pm}(N) = \frac{T_{L\pm}(V_N + V_{C; R_{\text{cut}}}) - T_{L\pm}(V_{C; R_{\text{cut}}}^{\text{pt}})}{2iT_{L\pm}(V_{C; R_{\text{cut}}}^{\text{pt}}) + 1}. \quad (14)$$

因此在 R-J 方法中实际上要完成两个计算, 一是截断的库仑势所计算的 $T_{L\pm}(V_N + V_{C; R_{\text{cut}}})$, 一是截断的点库仑势所计算的 $T_{L\pm}(V_{C; R_{\text{cut}}}^{\text{pt}})$.

我们将此方法推广应用于自旋 $\frac{1}{2} \times \frac{1}{2}$ 的散射, 具体研究了 $p-^3\text{He}$ 弹性散射, 此时 T 矩阵在自旋空间的结构形式为^[10]:

$$\begin{aligned} T = & \frac{1}{2} [(a+b) + (a-b)\vec{\sigma}_p \cdot \hat{n}\vec{\sigma}_2 \cdot \hat{n} + (c+d)\vec{\sigma}_p \cdot \hat{m}\vec{\sigma}_2 \cdot \hat{m} \\ & + (c-d)\vec{\sigma}_p \cdot \hat{l}\vec{\sigma}_2 \cdot \hat{l} + e(\vec{\sigma}_p + \vec{\sigma}_2) \cdot \hat{n} \\ & + f(\vec{\sigma}_p - \vec{\sigma}_2) \cdot \hat{n}]. \end{aligned} \quad (15)$$

所要计算的微分散射截面和自旋观测量由下面(16) — (23)式给出:

$$\sigma = (|a|^2 + |b|^2 + |c|^2 + |d|^2 + |e|^2 + |f|^2) / 2, \quad (16)$$

$$A_{no} = \text{Re}(a^*e + b^*f) / \sigma, \quad (17)$$

$$A_{on} = \text{Re}(a^*e - b^*f) / \sigma, \quad (18)$$

$$A_{nn} = (|a|^2 - |b|^2 - |c|^2 + |d|^2 + |e|^2 - |f|^2) / 2\sigma, \quad (19)$$

$$A_{lm} = -\text{Im}(d^*e + c^*f) / \sigma, \quad (20)$$

$$A_{ml} = -\text{Im}(d^*e - c^*f) / \sigma, \quad (21)$$

$$A_{mm} = \text{Re}(a^*d + b^*c) / \sigma, \quad (22)$$

$$A_{ll} = -\text{Re}(a^*d - b^*c) / \sigma. \quad (23)$$

由于库仑势是定域势, 对张量项不产生影响, 因而对 $p-^3\text{He}$ 弹性散射, 应当注意将(15)式中的中心项和自旋依赖项按(2)式和(3)式的形式加以修正.

3 结果与讨论

应用 R-J 方法于 $p-^3\text{He}$ 弹性散射, $R_{\text{cut}}=7\text{fm}$, 分波数 $L=32$, 计算了 200—500MeV 的微分散射截面和自旋观测量, 并与 V-P 方法的计算结果及实验结果作了比较. 图 1—图 4 给出了 300 和 500MeV 的微分散射截面和自旋观测量作为动量转移 q 的函数的理论值和实验值. 其它能量的结果与此有相同的趋势. 图中实线是本文计算结果, 虚线是 V-P 方法计算结果(来自文献[8]), 实验数据取自文献[11], [12]. 从图 1 微分散射截面的结果可以看出, V-P 方法在低动量转移区与实验符合较好, 在 $q>3.5\text{fm}^{-1}$ 的区域与实验偏离较大, 而 R-J 方法直到 $q>4.5\text{fm}^{-1}$ 的区域均与实验结果有较好的符合, 特别是入射质子能量为 300MeV 的情况表现更明显些.

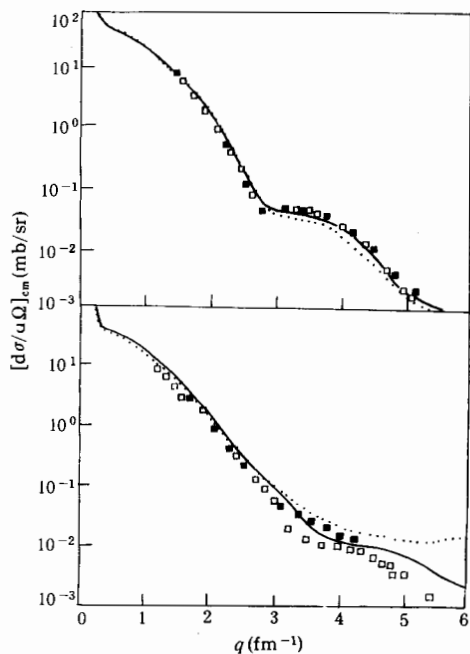


图 1 $p-^3\text{He}$ 弹性散射微分散射截面

上图 500MeV, 下图 300MeV. 实线来自本文, 点线来自文献[8], 实验点取自文献[11], [12].

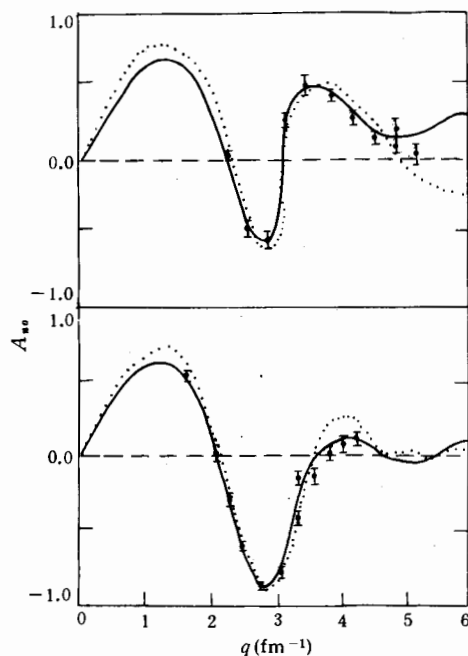


图 2 $p-^3\text{He}$ 弹性散射自旋观测量 A_{nn}

上图 500MeV, 下图 300MeV. 实线来自本文, 点线来自文献[8], 实验点取自文献[11], [12].

图2的自旋观测量 A_{no} 的结果在 $q > 3.5 \text{ fm}^{-1}$ 的区域R-J方法较V-P方法有所改进,但在 $q > 4.5 \text{ fm}^{-1}$ 的区域R-J方法的结果也与实验结果有明显偏差.

图3显示出自旋观测量 A_{on} . R-J方法的结果似乎比V-P方法的结果更趋于实验点,但两种方法的结果均与实验结果有明显偏差.

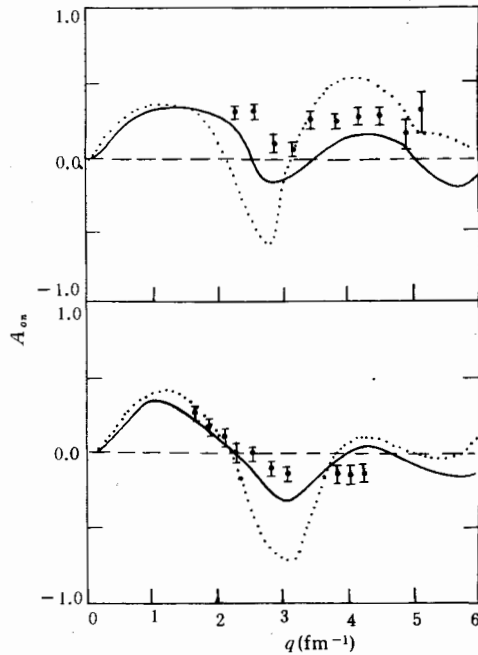


图3 $p-^3\text{He}$ 弹性散射自旋观测量 A_{on}

上图 500MeV, 下图 300MeV. 实线来自本文, 点线来自文献[8], 实验点取自文献[11], [12].

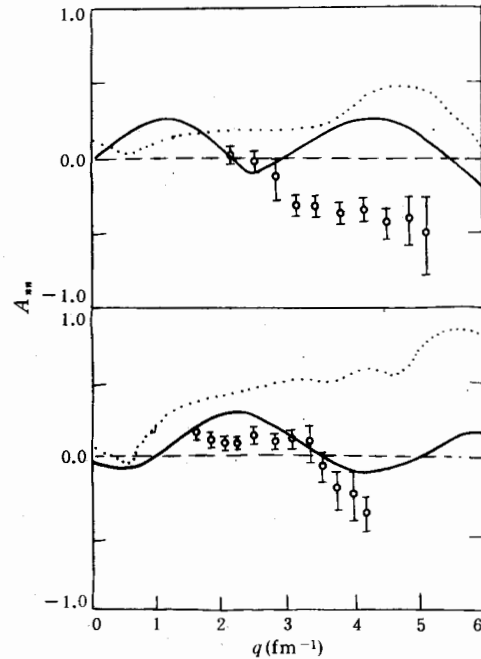


图4 $p-^3\text{He}$ 弹性散射自旋观测量 A_{nn}

上图 500MeV, 下图 300MeV. 实线来自本文, 点线来自文献[8], 实验点取自文献[11], [12].

图4给出了自旋观测量 A_{nn} . 从图中可见500MeV下两种方法的结果均与实验偏差较大, 特别是在大动量转移区均与实验结果成相反趋势. 但在低动量转移区R-J方法的结果似乎比V-P方法的结果好些. 300MeV的情况显示出R-J方法的结果与实验符合稍好些, 但仍存在偏差. 自旋观测量 A_{ll} , A_{mm} ; A_{lm} , A_{ml} , 因尚无实验数据可以比较而没有给出图示.

要注意的是以上结果均选取两种方法中的最佳结果即 $R_{\text{cut}} = 7 \text{ fm}$, V-P方法中 $L = 24$, R-J方法中 $L = 32$.

由于在R-J方法中计算 $T_{L\pm}(N)$ 所用的相移 $\bar{\delta}_{L\pm}(N)$ 是V-P方法中的相移 $\delta_{L\pm}(V_N + V_{C;R_{\text{cut}}})$ 与截断的点库仑相移 $\delta_{L\pm}(V_{C;R_{\text{cut}}})$ 之差, 因而R-J方法中所计算的相移随分波数增加的收敛速度快于V-P方法. 而相移收敛速度正是在文献[8]中所提到的选取 R_{cut} 的条件. 图5中给出了500MeV下 $L = 24$ 和 $L = 32$, $R_{\text{cut}} = 7 \text{ fm}$ 时两种方法所计算的相移随分波数 L 的变化情况.

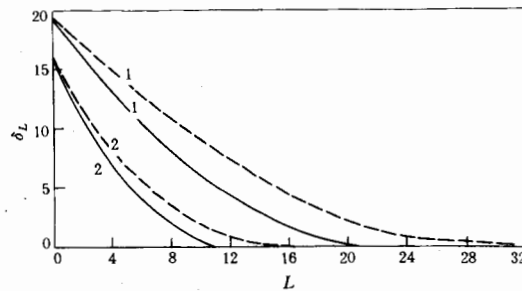


图5 $p-^3\text{He}$ 弹性散射. 500MeV, $R_{\text{cut}}=7\text{fm}$ 时的库仑修正的核相移随 L 的变化
虚线是 V-P 方法, 实线是 R-J 方法. 1 对应 $L=32$, 2 对应 $L=24$.

综上所述应用 R-J 方法于 $p-^3\text{He}$ 弹性散射在 $R_{\text{cut}}=7\text{fm}$, $L=32$ 时所得的结果在低动量转移区 $q < 3.5\text{fm}^{-1}$ 的区域基本上与 V-P 方法一致, 但在高动量转移区 $q > 3.5\text{fm}^{-1}$ 的区域, 微分散射截面, 自旋观测量 A_{no} , A_{on} 较 V-P 方法的结果有较好的改进. 所得结论是对 R-J 工作的一个支持.

参 考 文 献

- [1] Okubo, D. Feldman, *Phys. Rev.*, **117** (1960) 292.
- [2] G. Fäldt, H. Pikuhn, *Phys. Lett.*, **B40** (1972) 613.
- [3] E. O. Alt, W. Sandhas, *Phys. Rev.*, **C21** (1980) 1733.
- [4] E.O.Alt, W. Sandhas, H. Ziegelman, *Nucl. Phys.*, **A445** (1985) 429.
- [5] C. M. Vincent, S. C. Phatak, *Phys. Rev.*, **C10** (1974) 391.
- [6] A. Pickiesimer, P. C. Pandy, R. M. Thler *et al.*, *Phys. Rev.*, **C30** (1984) 1861.
- [7] H. F. Arellano, F. A. Brieva, W. G. Love, *Phys. Rev.*, **C41** (1990) 2188.
- [8] 宋桂莲、孙太怡、张炎勋, 高能物理与核物理, **17** (1993) 763.
- [9] R. Crespo, J. A. Tostevin, *Phys. Rev.*, **C41** (1990) 2615.
- [10] R. H. Landau, M. Sagen, G. He, *Phys. Rev.*, **C41** (1990) 50.
- [11] D. K. Hasell *et al.*, *Phys. Rev.*, **C34** (1986) 236.
- [12] O. Häusser, Proceedings, PARIS90, Editions Frontieres (Gif-Sur-Yvette 1990).

Treatment of Coulomb Interaction in Momentum Space for $p-^3\text{He}$ Elastic Scattering

Yang Jingkui Xu Yinfu Song Guilian

(*Department of Physics, Harbin Normal University, Harbin 150080*)

Received 31 March 1995

Abstract

Applying the method proposed by R. Crespo and J. A. Tostevin to $p-^3\text{He}$ elastic scattering, we study the treatment of Coulomb interaction of momentum space. The differential cross sections and spin observables at 500 and 300 MeV are calculated with $R=7\text{fm}$. The present results are compared with those given in V-P method. It shows that the applicable range of angular momentum and momentum transfer in R-J method are wider than those in V-P method.

Key words elastic scattering, momentum space, Coulomb interaction.